

## МОДЕЛИ ТУРБУЛЕНТНОСТИ $k$ - $\varepsilon$ ПЕРВОГО И ВТОРОГО ПОРЯДКА. РЕЗУЛЬТАТЫ ТЕСТИРОВАНИЯ

### АННОТАЦИЯ

Предложены две  $k$ - $\varepsilon$  модели турбулентности: первого и второго порядка соответственно. Эти модели получены разложением корреляционных функций точных уравнений турбулентной энергии и скорости диссипации энергии несжимаемой жидкости в ряд по пространственным производным скорости. В модели первого порядка тензор напряжений Рейнольдса представлен соотношением Буссинеска, связывающим напряжения Рейнольдса с тензором скорости деформаций посредством эффективной турбулентной вязкости. В модели второго порядка тензор напряжений Рейнольдса содержит дополнительный член с пространственными производными скорости второго порядка. Проведено тестирование моделей путем сравнения результатов моделирования турбулентных течений в различных каналах с результатами экспериментов.

### 1. ВВЕДЕНИЕ

Двухпараметрические модели турбулентности типа  $k$ - $\varepsilon$  в качестве фундаментального соотношения используют гипотезу Буссинеска, выражающую связь напряжений Рейнольдса с тензором скорости деформаций посредством эффективной турбулентной вязкости. Согласно Колмогорову эффективная турбулентная вязкость является линейной функцией турбулентного числа Рейнольдса  $R_t$ . Однако первые применения моделей турбулентности указывали на более сложную зависимость, что привело к использованию модельных функций турбулентного числа Рейнольдса. Соответствующие модели позволяют моделировать турбулентность в ядре потока, в области больших турбулентных чисел Рейнольдса. В процессе развития моделей турбулентности снова вернулись к идее Прандтля о влиянии стенки на пространственный масштаб турбулентности. Современные модели турбулентности позволяют моделировать турбулентность во всей области течения, включая вязкий подслой [1]. Такая возможность достигается использованием модельных функций двух аргументов: турбулентного числа Рейнольдса и безразмерной пространственной координаты  $y^+$ , определяющей положение произвольной точки потока относительно ближайшей стенки канала.

В настоящей работе предложены две модели турбулентности: первого и второго порядка соответственно. Эти модели не содержат модельные функции. Модельные уравнения для турбулентной энергии и скорости диссипации получены путем разложения корреляционных функций точных уравнений в ряды по пространственным производным средней скорости.

В модели первого порядка тензор напряжений Рейнольдса определяется гипотезой Буссинеска. При этом, эффективная турбулентная вязкость, как размерный множитель этой зависимости, является линейной функцией турбулентного числа Рейнольдса, что находится в полном соответствии с гипотезой Колмогорова. В модели второго порядка тензор напряжений Рейнольдса выражен через пространственные производные средней скорости первого и второго порядков. С членом второго порядка связаны силы, ответственные за процесс обмена энергией между различными конфигурациями осредненного движения через механизм турбулентности.

В настоящей работе представлены результаты моделирования турбулентных течений несжимаемой жидкости в различных каналах и дано сравнение полученных результатов с данными экспериментов.

### 2. ОСНОВНЫЕ УРАВНЕНИЯ

Уравнение неразрывности:

$$u_{i,i} = 0. \quad (1)$$

Уравнение Рейнольдса:

$$U_{i,t} + U_k U_{i,k} + \partial_k \langle u'_k \cdot u'_i \rangle = -\rho^{-1} P_{,i} + \nu U_{i,kk}. \quad (2)$$

Уравнение турбулентной энергии:

$$\begin{aligned} (\partial_t + U_n \partial_n) k = \\ = -\langle u'_i \cdot u'_j \rangle U_{i,j} + \partial_n \left[ (\nu_t / \sigma_k + \nu) k_{,n} \right] - \varepsilon. \end{aligned} \quad (3)$$

Уравнение скорости диссипации:

$$\begin{aligned} \varepsilon_{,t} + U_n \varepsilon_{,n} = -2\nu m_{ij} U_{i,j} - \nu r_{ijk} U_{i,jk} - \\ - \frac{2}{3} \nu \partial_k \langle u'_k \cdot u'_i \rangle U_{i,m} - 2\nu \langle u'_{i,j} \cdot u'_{i,n} \cdot u'_{n,j} \rangle + \\ + \partial_n \left[ (\nu_t / \sigma_\varepsilon + \nu) \varepsilon_{,n} \right] - C_{\varepsilon 2} \frac{\varepsilon^2}{k}. \end{aligned} \quad (4)$$

**Корреляционные функции** в (1–4) определяются следующими соотношениями:

$$\begin{aligned} -\langle u'_i \cdot u'_j \rangle + 2/3 \delta_{ij} k = \nu_t S_{ij} - \\ - C_k \frac{k^2}{\varepsilon} \left( \frac{\nu k}{\varepsilon} \right)^{1/2} R_{mij} n_m, \end{aligned} \quad (5)$$

$$r_{ijk} = -C_{\varepsilon 4} \cdot \nu_t \cdot R_{ijk}, \quad (6)$$

$$-2\nu m_{ij} = C_{\varepsilon 1} \nu_t \frac{\varepsilon}{k} S_{ij} - C_{\varepsilon 3} k \left( \frac{\nu k}{\varepsilon} \right)^{1/2} \partial_m S_{ij} l_m, \quad (7)$$

$$-2\nu \langle u'_{i,j} \cdot u'_{i,n} \cdot u'_{n,j} \rangle = -C_{\varepsilon 5} \frac{\nu \varepsilon}{k} S_{ij}^2 + C_{\varepsilon 6} \nu^2 R_{ijk}^2. \quad (8)$$

По определению:

$$\nu_t \equiv C_{\mu} \frac{k^2}{\varepsilon};$$

$$m_{ij} \equiv \langle u'_{i,n} \cdot u'_{j,n} \rangle + \langle u'_{n,i} \cdot u'_{n,j} \rangle - \frac{2}{3} \cdot \delta_{ij} \cdot \frac{\varepsilon}{\nu};$$

$$r_{ijk} \equiv \langle u'_k \cdot u'_{i,j} \rangle + \langle u'_j \cdot u'_{i,k} \rangle - \frac{2}{3} \cdot \delta_{jk} \cdot \partial_n \langle u'_n \cdot u'_i \rangle;$$

$$R_{mij} \equiv U_{m,ij} - \frac{\delta_{ij}}{3} U_{m,nn}; \quad S_{ij} \equiv U_{i,j} + U_{j,i};$$

$$n_i \equiv U_i / \sqrt{U_k^2}; \quad l_i \equiv k_{,i} / \sqrt{k_{,n}^2}.$$

Как это принято, повторяющийся дважды в тензорном выражении индекс означает суммирование по этому индексу.

**Значения модельных констант:**

$C_{\mu} = 0.09$ ,  $C_k = 0.4 - 0.5$ ,  $C_{\varepsilon 1} = 1.5$ ,  $C_{\varepsilon 2} = 1.9$ ,  $C_{\varepsilon 3} = 0.02$ ,  $C_{\varepsilon 4} = 2$ ,  $C_{\varepsilon 5} = 0.09$ ,  $C_{\varepsilon 6} = 24$ ,  $\sigma_k = 1.4$ ,  $\sigma_{\varepsilon} = 1.4$ .

**Граничные условия** для турбулентных величин предполагают равенство нулю турбулентной энергии и нормальной производной скорости диссипации на стенках канала:

$$k_w = 0, \quad \partial \varepsilon_w / \partial n = 0.$$

### 3. МОДЕЛЬ ПЕРВОГО ПОРЯДКА

В модели первого порядка тензор напряжений Рейнольдса  $\langle u'_i u'_j \rangle$  определяется гипотезой Буссинеска, связывающей напряжения Рейнольдса с тензором скорости деформаций  $S_{ij}$  посредством эффективной турбулентной вязкости  $\nu_t$ . Модель первого порядка получаем, полагая в (5)  $C_k = 0$ .

#### 3.1. Плоский канал

Моделирование развитого турбулентного течения в плоском канале дает распределения скорости, хорошо согласующиеся с полуэмпирической моделью Кармана [2], рис.1, а коэффициенты трения – с законами Дина [3], Зарби и Рейнольдса [4], рис.2.

#### 3.2. Круглая труба

Распределениям скорости, полученные моделирование развитого турбулентного течения в круглой трубе, описываются эмпирической формулой Рейхарда [2], рис.3, а коэффициенты гидравлического сопротивления – формулами Никурадзе [5] и Филоненко [6], рис. 4.

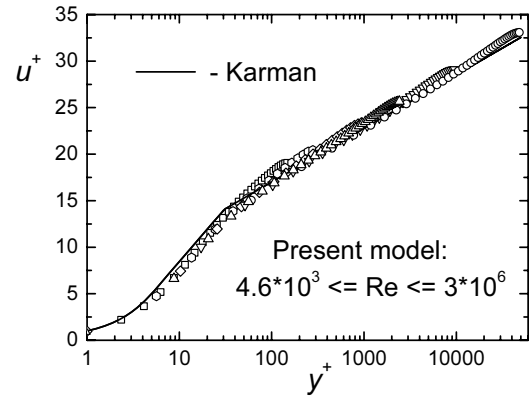


Рис. 1. Профили скорости в плоском канале

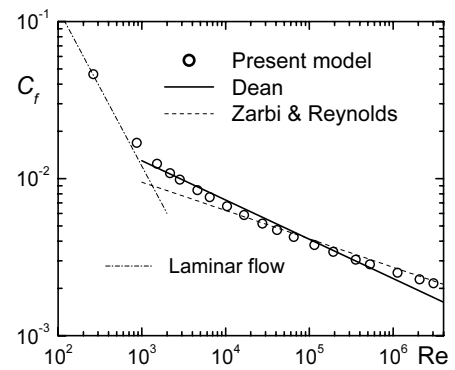


Рис. 2. Коэффициенты трения в плоском канале

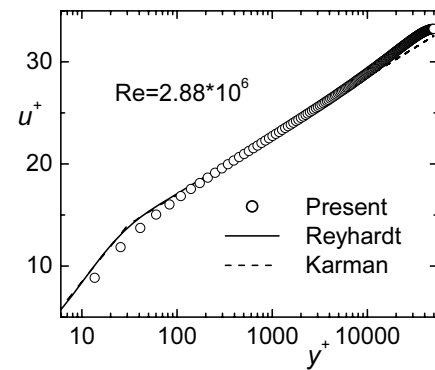


Рис. 3. Профили скорости в круглой трубе

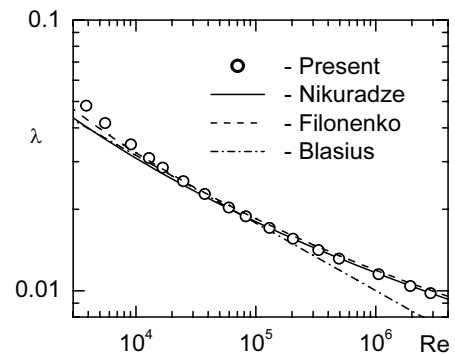


Рис. 4. Коэффициенты гидравлического сопротивления круглой трубы

### 3.3. Кольцевые каналы

Моделировалось развитое турбулентное течение в кольцевых каналах с различным отношением внешнего,  $R_2$ , и внутреннего,  $R_1$ , радиусов. Получено хорошее согласие рассчитанных (сплошные линии) и измеренных (точки) профилей скорости, рис. 5. Экспериментальные данные взяты из работы [7]. Пунктирной линией изображены профили скорости, рассчитанные по методике [7].

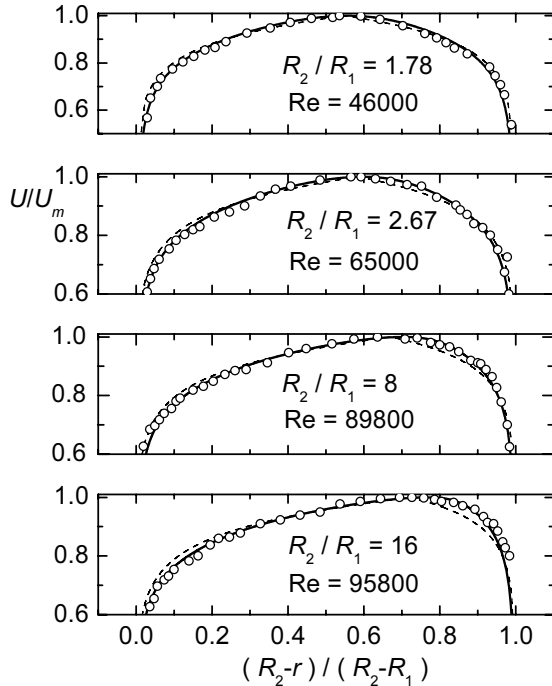


Рис. 5. Профили скорости в кольцевых каналах

### 4. МОДЕЛЬ ВТОРОГО ПОРЯДКА

В модели турбулентности второго порядка тензор напряжений Рейнольдса определяется соотношением (5). Член второго порядка в правой части (5) не влияет на распределения скорости и, следовательно, на коэффициенты гидравлического сопротивления вышерассмотренных каналов, обладающих высокой симметрией. Однако даже в таких каналах диагональные компоненты напряжений Рейнольдса взаимно различны, рис. 6 ( $C_k = 0.5$ ).

Разница между поперечными компонентами тензора напряжений Рейнольдса является причиной появления вторичных токов в прямых каналах более сложной геометрии. На рис. 7 представлены линии тока вторичного течения, полученные моделированием развитого турбулентного течения в прямой трубе квадратного сечения. Максимальные значения скорости вторичного течения достигают двух процентов значения среднерасходной скорости.

Течения в каналах с обратным выступом могут рассматриваться как пример сложных течений. На рис. 8 результаты численного моделирования турбулентного течения в прямом канале с обратным выступом сравниваются с экспериментальными

данными работы [8]. Распределения скорости нормированы на максимальное значение скорости  $U_0$  на входе в канал ( $x$  – расстояние до выступа). Сравнивая данные рис. 8 с аналогичными распределениями, полученными с помощью модели первого порядка (см. [9]), заключаем, что второго порядка член соотношения (5) позволяет добиться лучшего согласия с данными экспериментов. Экспериментальное значение длины зоны рециркуляции (расстояние от выступа до точки присоединения потока) составляет  $6.51h$  и совпадает с рассчитанным значением. Модель первого порядка дает значение  $7.2h$ .

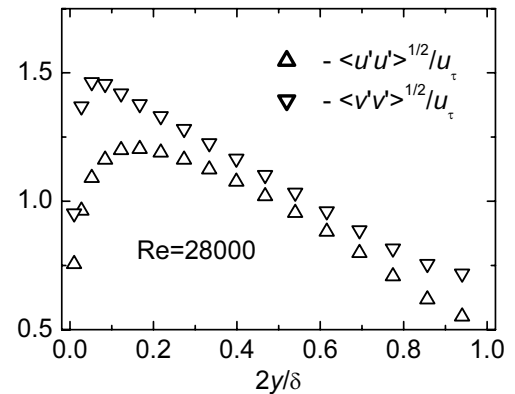


Рис. 6. Диагональные компоненты напряжений Рейнольдса в плоском канале

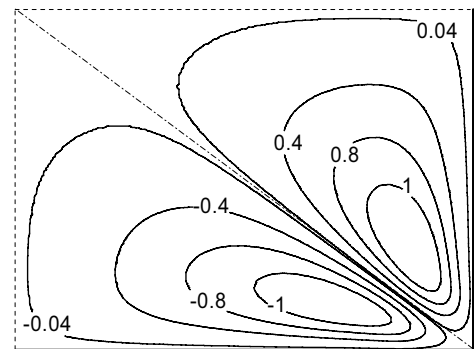


Рис. 7. Линии тока вторичного течения в трубе квадратного сечения:  $Re = 4500$

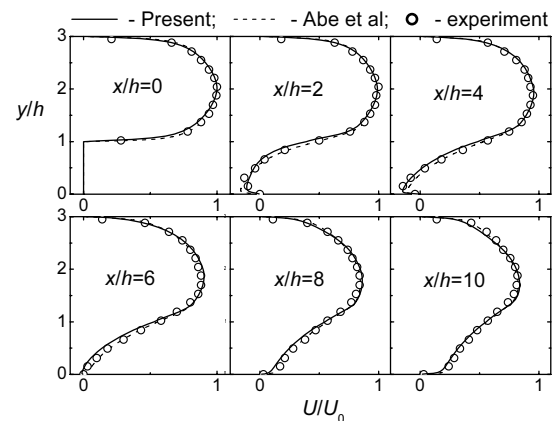


Рис. 8. Распределения скорости в различных сечениях за обратным выступом:  $Re_h = 5500$ ,  $ER = 1.5$

На рис. 8 представлены также данные, рассчитанные с помощью  $k$ - $\varepsilon$  модели турбулентности работы [1]. Полученное с помощью этой модели значение длины зоны рециркуляции составляет  $6.1h$ .

## ЗАКЛЮЧЕНИЕ

Предложены две  $k$ - $\varepsilon$  модели турбулентности: первого и второго порядка соответственно. Эти модели получены разложением корреляционных функций точных уравнений турбулентной энергии и скорости диссипации энергии несжимаемой жидкости в ряд по пространственным производным поля скорости, усредненного по статистическому ансамблю. Предложенные модели турбулентности не содержат модельные функции.

В модели турбулентности первого порядка тензор напряжений Рейнольдса выражается через тензор скорости деформации соотношением Буссинеска. В модели второго порядка тензор напряжений Рейнольдса представлен пространственными производными средней скорости первого и второго порядка соответственно.

Второго порядка член тензора напряжений Рейнольдса не влияет на распределения скорости и коэффициенты сопротивления каналов высокой симметрии. Результаты численного моделирования развитого турбулентного течения в плоском канале, круглой трубе и кольцевых каналах находятся в хорошем согласии с данными экспериментов.

Второго порядка член тензора напряжений Рейнольдса ответственен за процесс обмена энергией между различными конфигурациями осредненного движения. Силы, связанные с этим членом, приводят к вторичным токам в каналах низкой симметрией (например, прямой канал квадратного сечения). Максимальное значение скорости вторичного течения может достигать двух процентов среднесредней скорости.

Второго порядка член тензора напряжений Рейнольдса позволил улучшить результаты моделирования течений в каналах с обратным выступом, рассматриваемых как пример сложных течений.

Тестирование модели турбулентности первого порядка обнаружило высокую эффективность модели. Эта эффективность проявляется в хорошейходимости вычислительного процесса. Второго порядка член напряжений Рейнольдса нелинейный и содержит пространственные производные наивысшего порядка в системе дифференциальных уравнений модели. Это отрицательно влияет на устойчивость вычислительного алгоритма и требует разработки адекватной неявной схемы численной аппроксимации этого члена. В настоящей работе использовалась явная схема аппроксимации.

## СПИСОК ОБОЗНАЧЕНИЙ

$u_i$  – компонента скорости,  $i=1,2,3$ ;  
 $U_i$  – скорость, усредненная по ансамблю;  
 $u'_i$  – турбулентные пульсации скорости  $u_i$ ;  
 $p$  – давление;  
 $P$  – среднее по ансамблю поле давления;

$p'$  – турбулентные пульсации давления;  
 $\langle u_i u_j \rangle$  – среднее по ансамблю произведение компонент скорости;  
 $k$  – турбулентная энергия,  $k \equiv \langle u'_i u'_i \rangle / 2$ ;  
 $\varepsilon$  – скорость диссипации турбулентной энергии,  
 $\varepsilon \equiv \nu \langle u'_{i,j} u'_{i,j} \rangle$ ;  
 $\rho$  – плотность;  
 $\delta_{ij}$  – симметричный единичный тензор;  
 $\nu, \nu_t$  – кинематическая молекулярная и турбулентная вязкости;  
 $R_t$  – турбулентное число Рейнольдса,  $R_t \equiv k^2 / \varepsilon \nu$ ;  
 $C_f$  – коэффициент поверхностного трения,  
 $C_f = \tau_w / (\rho U_m^2 / 2)$ ;  
 $u_\tau$  – масштаб скорости, основанный на напряжении трения,  $u_\tau = (\tau_w / \rho)^{1/2}$ ;  
 $\tau_w$  – напряжение трения на стенке;  
 $u^+$  – безразмерная скорость,  $u^+ = u / u_\tau$ ;  
 $y^+$  – безразмерное расстояние до стенки канала,  
 $y^+ = y u_\tau / \nu$ ;  
 $Re$  – число Рейнольдса, основанное на средней скорости и гидравлическом диаметре канала.  
 $\delta$  – половина расстояния между стенками плоского канала;  
 $h$  – высота обратного выступа;  
 $ER$  – коэффициент расширения канала с обратным выступом как отношению ширины канала.  
Операторы производных:  
 $k_{,i} = \partial_i k \equiv \partial k / \partial x_i$ ;  $k_{,i} = \partial_i k \equiv \partial k / \partial x_i$ ,  $i = 1, 2, 3$ .  
 $u_{i,t} = \partial_t u_i \equiv \partial u_i / \partial t$ ,  $u_{i,k} = \partial_k u_i \equiv \partial u_i / \partial x_k$ ,  $i, k = 1, 2, 3$ .  
 $u_{i,jk} = \partial_{jk} u_i \equiv \partial^2 u_i / \partial x_j \partial x_k$ ,  $i, j, k = 1, 2, 3$ .

## СПИСОК ЛИТЕРАТУРЫ

1. **Abe K., Kondoh T., Nagano Y.** A new turbulence model for predicting fluid flow and heat transfer in separating and reattaching flows -1. Flow field calculations // Int. J. Heat Mass Transfer. 1994. Vol. 37. № 1. P. 139–151.
2. **Гидродинамика** и теплообмен в атомных энергетических установках / В.И. Субботин и др. М.: Атомиздат, 1975.
3. **Dean R.B.** Reynolds number dependence of skin friction and other bulk flow variables in two-dimensional rectangular duct flow, Trans. ASME Journal of Fluids Engineering 100 (1978) 215.
4. **Zarbi G., Reynolds A.J.** Wall stress measurements in two-dimensional turbulent channel and boundary-layer flows, and the wall layer differences, Trans. Japan Society of Mechanical Engineering B58 (1992) 1378.
5. **Schlichting H.** Boundary-Layer Theory. McGraw-Hill Inc., 1979.
6. **Идельчик И.Е.** Справочник по гидравлическим сопротивлениям. М.: Машиностроение, 1992.
7. **Rothfus R.R., Sartory W.K. and Kermod R.I.** Flow in Concentric Annuli at High Reynolds Numbers. A.I.Ch.E. Journal. 1966. V. 12. № 6. P. 1086–1091.
8. **Kasagi N., Kawara S. and Matsunaga A.** Turbulence measurement in a separated and reattaching flow over a backward-facing step with the aid of three-dimensional particle tracking velocimetry, The Symposium of the Society of Instrument and Control Engineers (1991).
9. **Михин В.И.** Второго порядка  $k$ - $\varepsilon$  модель турбулентности // VI Международный конгресс по математическому моделированию. Сентябрь 20–26, 2004, Нижний Новгород, Россия.